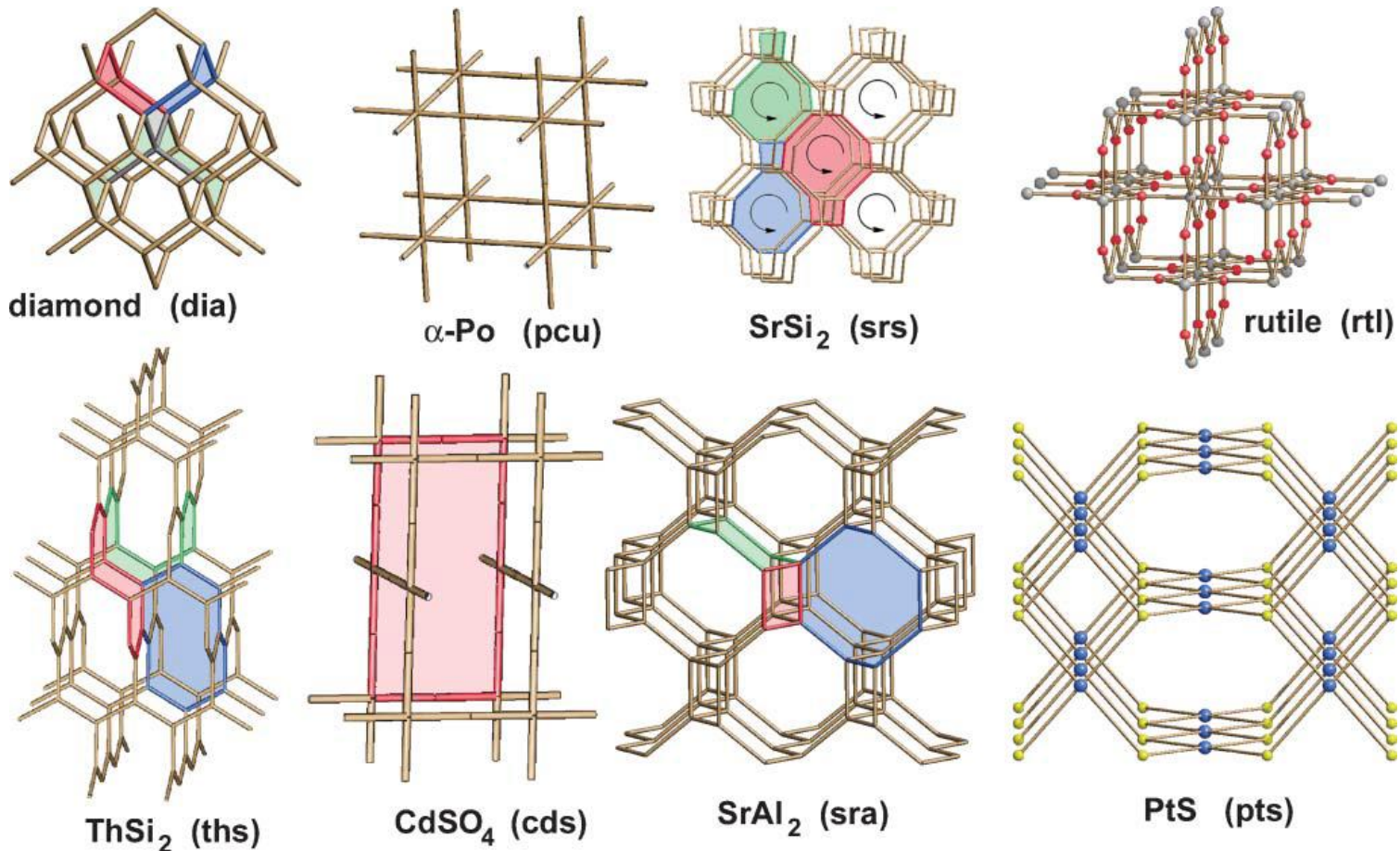


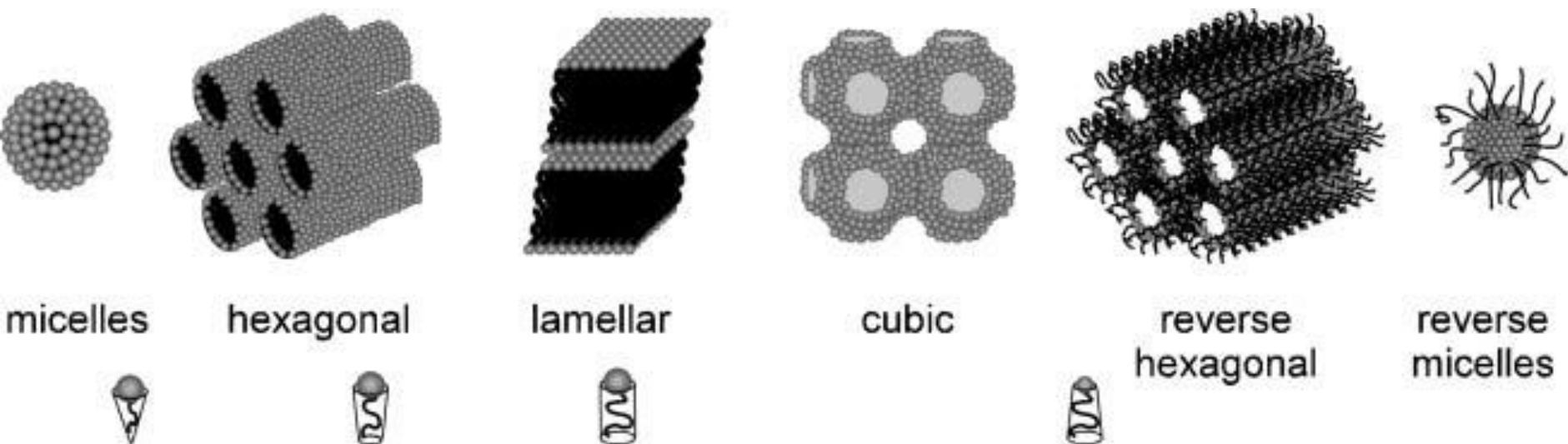
# Nukleární magnetická rezonance

NMR spektroskopie pevného stavu

# NMR pevné fáze, MOTIVACE

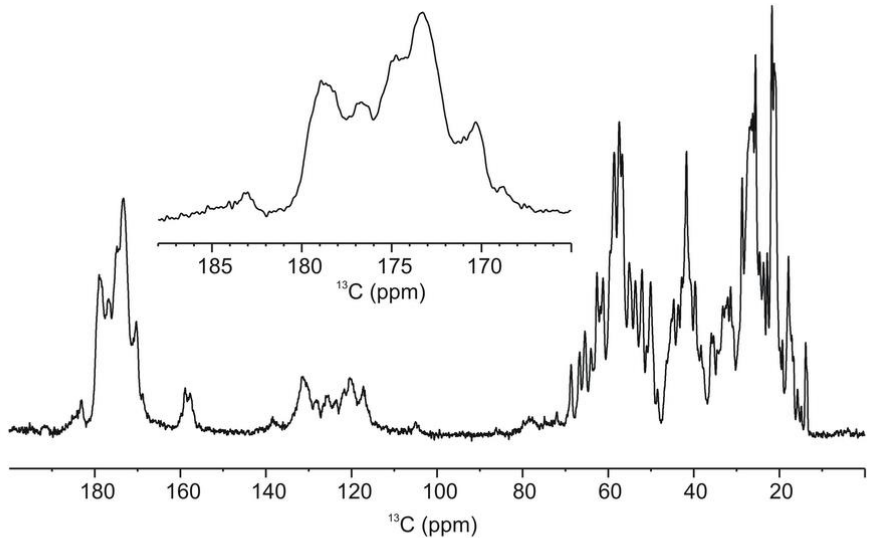


# NMR pevné fáze, MOTIVACE



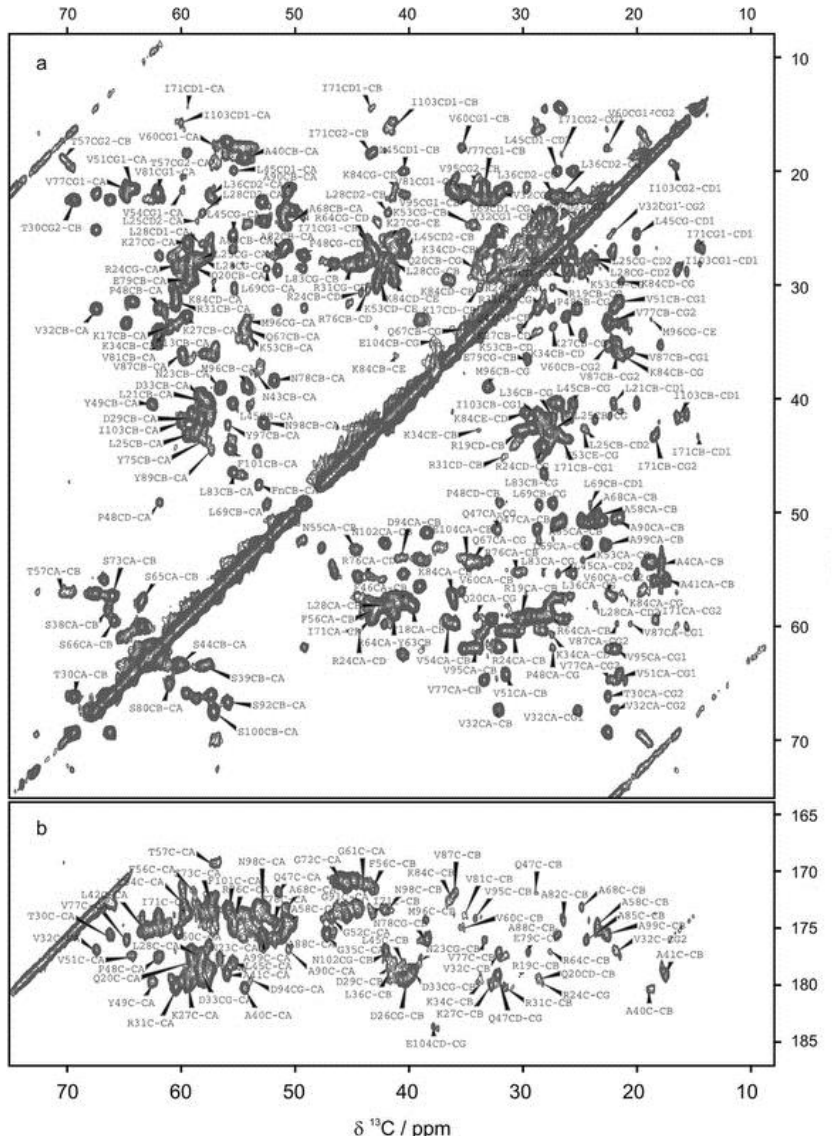
# NMR pevné fáze, MOTIVACE

a

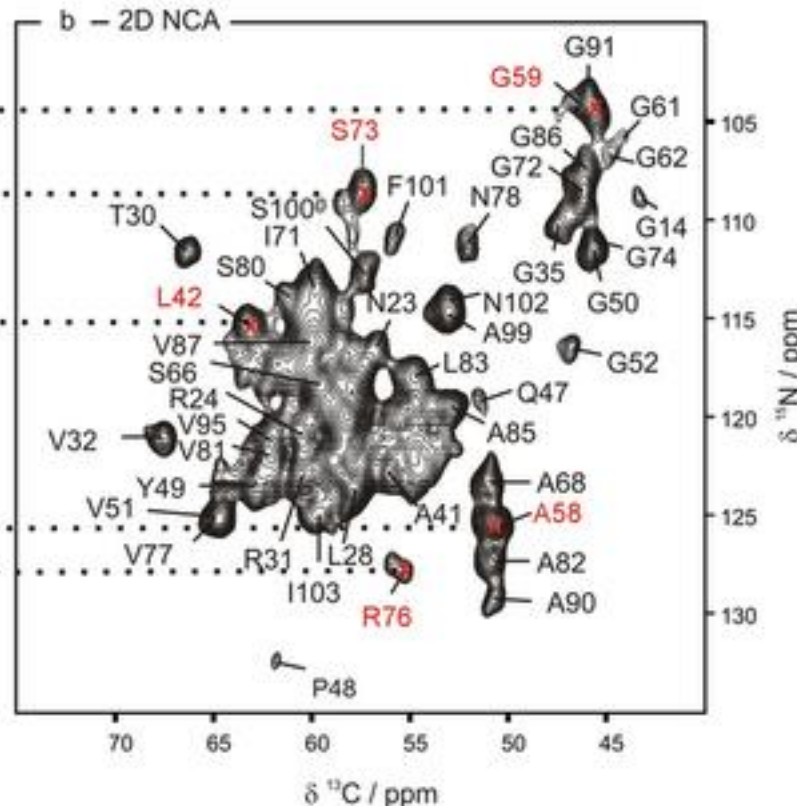
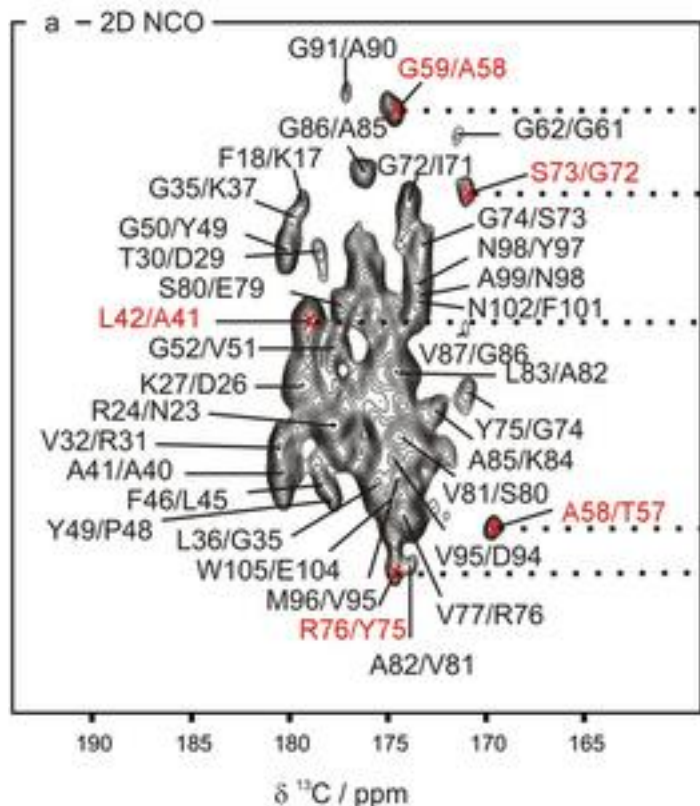


b

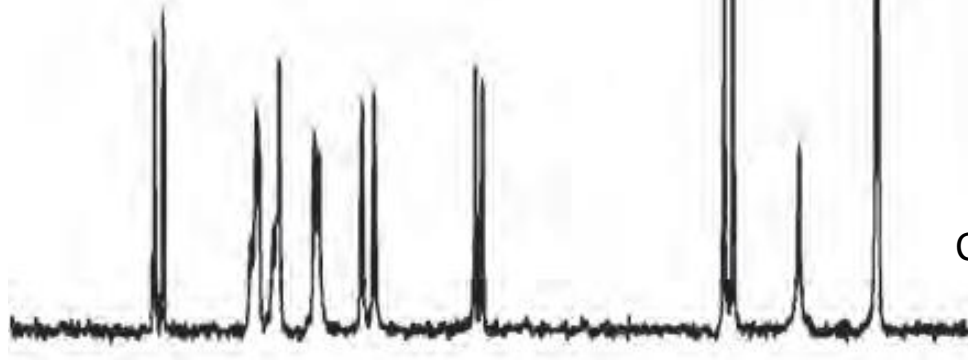
GDQASWSHPQ	FEKG <b>AHKF</b> RQ
<b>IDNRLD</b> KLD <b>T</b>	<b>RVDKGLASSA</b>
ALNSI <b>FQPYG</b>	VGKVNFTAGV
<b>GGYRSSQALA</b>	<b>IIGSGYRVNES</b>
VALKAGVAYA	GS <b>SDVM</b> YNAS
<b>FNIEW</b>	



# NMR pevné fáze, MOTIVACE

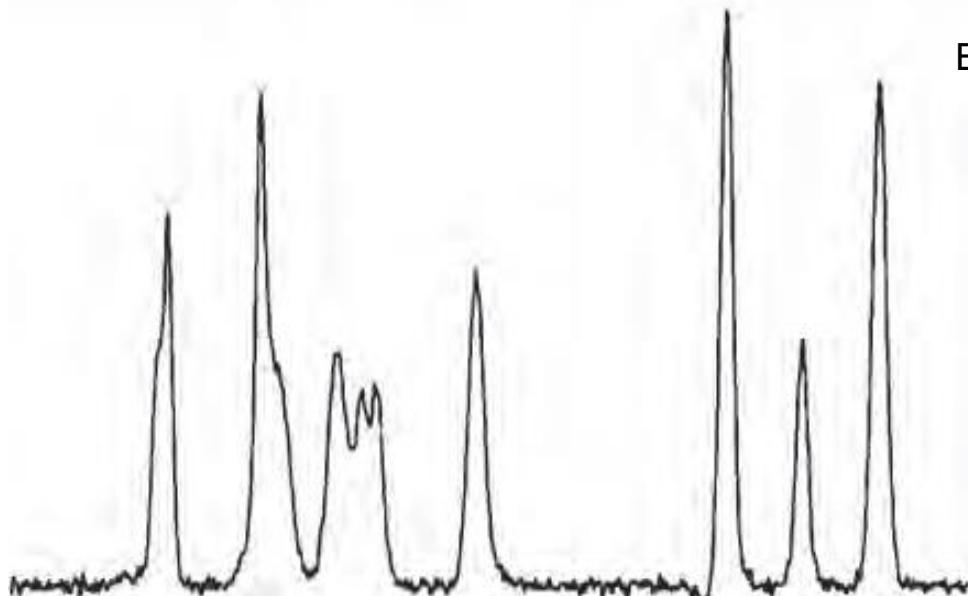


# NMR pevné fáze *MOTIVACE*



Carbon-13 CPMAS spectra of nifedipine (**VI**).

Top: crystalline form I.



Bottom: amorphous

J. Pharm. Pharmacol. 2007, 59: 225–239

# NMR pevné fáze, MOTIVACE

**Polymorph** is a solid crystalline phase of a given compound resulting from the possibility of at least two crystalline arrangements of the molecules of that compound in the solid state.

W.C. McCrone, in Physics and Chemistry of the Organic Solid State, Vol. 2, Interscience, New York, p. 725, 1965.

# NMR pevné fáze, MOTIVACE

**Potenciálně rozdílné fyzikální a chemické vlastnosti mezi polymorfy, solváty a amorfní fází:**

- **fyzikální a termální vlastnosti** (hustota, refrakční index, teplota tání, volná energie a chemický potenciál, **termální stabilita, rozpustnost**)
- **spektroskopické vlastnosti** (vibrační, rotační, elektronové a NMR vlastnosti)
- **kinetické vlastnosti** (**řád rozpustnosti**, stabilita, kinetika reakcí v pevné fázi)
- **povrchové vlastnosti** (plocha povrchu, distribuce velikosti částic)
- **mechanické vlastnosti** (tvrdost, komprese, tepelná expanze, charakteristika vysychání)
- **chemické vlastnosti** (**chemická a fotochemická reaktivita**)

# NMR pevné fáze, *MOTIVACE*

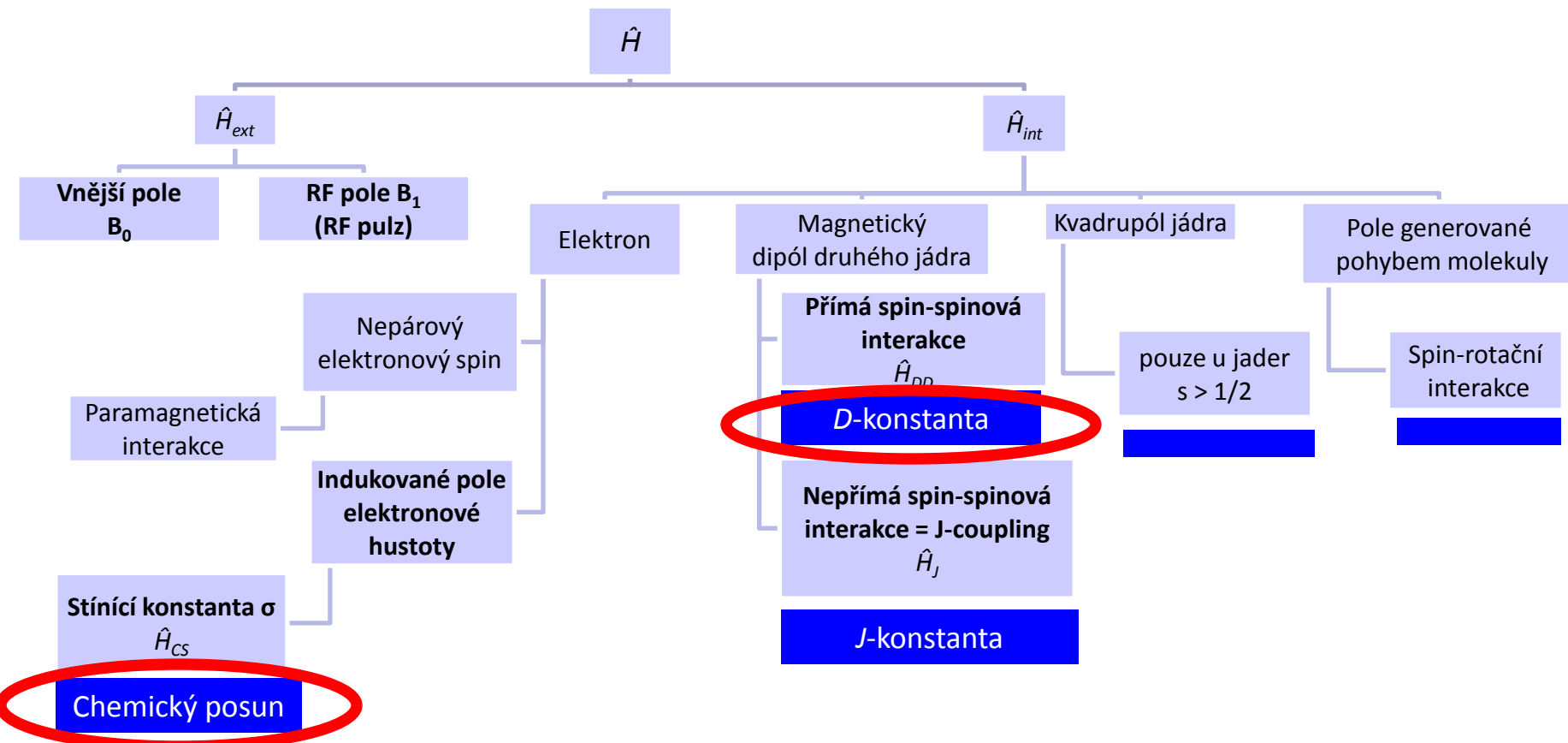
## **Polymorf – farmaceutické aplikace**

# Pevná fáze

- vzorky v podobě monokrystalů, práškové formě (mikrokrystaly) či amorfní fáze
- omezen molekulární pohyb – anizotropie chemického posunu, výrazný efekt přímé dipolární a kvadrupolární interakce
- 100% koncentrace vzorku
- spektra „přesycena“ informacemi – vývoj technik ssNMR pro jejich extrakci

# Interakce jaderného spinu

energie interakce spinu reprezentovaného operátorem  $\hat{I}_z$  s okolím vyjadřují jednotlivé členy spinového hamiltoniánu  $\hat{H}$

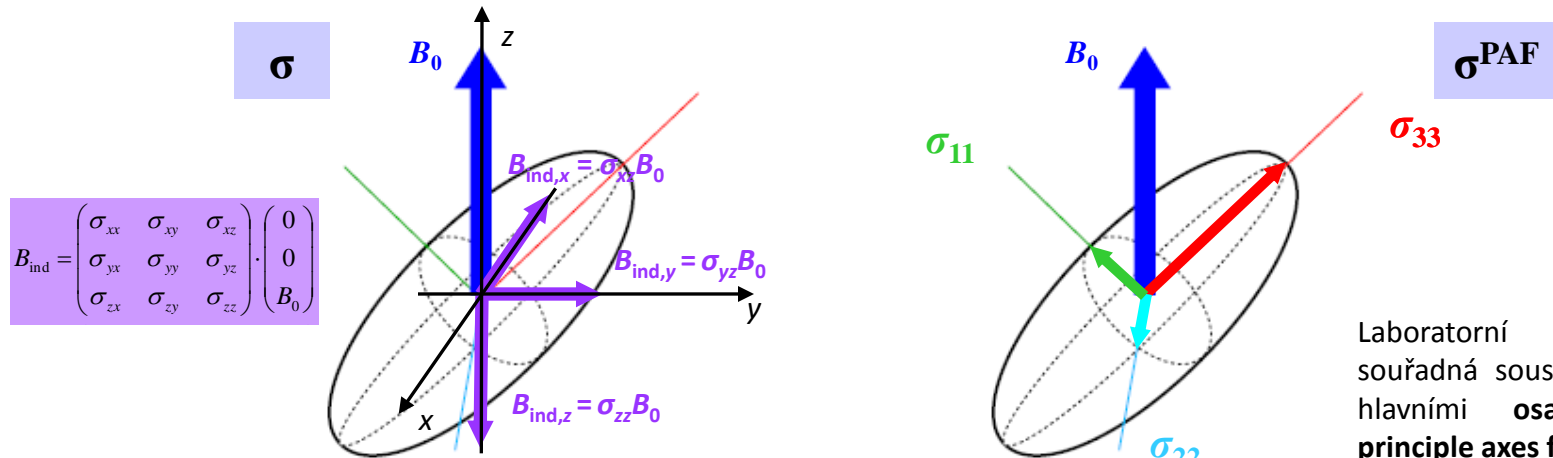


# Anizotropní interakce v pevné fázi - CST

## Jaderné magnetické stínění

Stínící konstanta - tenzor

$$\sigma = \begin{pmatrix} \sigma_{xx} & \sigma_{xy} & \sigma_{xz} \\ \sigma_{yx} & \sigma_{yy} & \sigma_{yz} \\ \sigma_{zx} & \sigma_{zy} & \sigma_{zz} \end{pmatrix}^{Lab} \xrightarrow{\text{diagonaliace}} \begin{pmatrix} \sigma_{11} & 0 & 0 \\ 0 & \sigma_{22} & 0 \\ 0 & 0 & \sigma_{33} \end{pmatrix}^{PAF} = \sigma^{PAF}$$



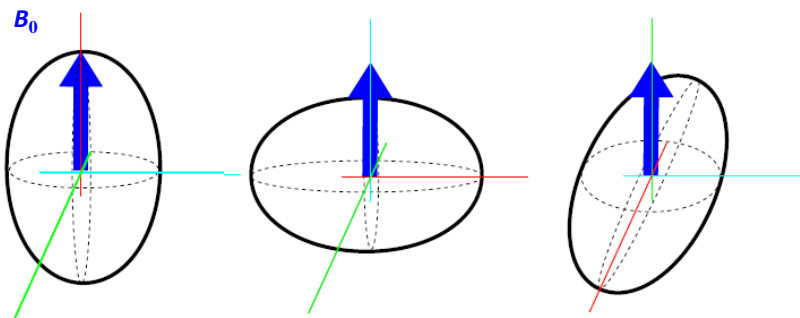
Laboratorní souřadná kartézská soustava nahrazena hlavními osami (PAF = principle axes frame).

## PŘÍČINY ANIZOTROPIE CHEMICKÉHO POSUNU

- omezený molekulární pohyb plně nekompenzuje nesférický charakter elektronové hustoty molekul
- různé orientace mikrokrytalů v práškovém vzorku

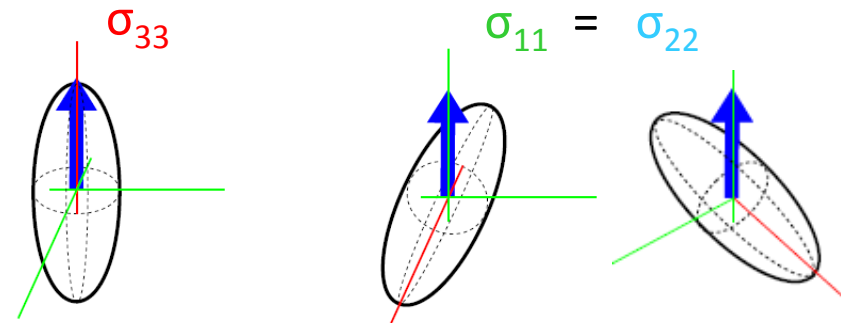
$$\sigma_{iso} = 1/3(\sigma_{11} + \sigma_{22} + \sigma_{33})$$
 izotropní stínění

# Anizotropní interakce v pevné fázi - CST



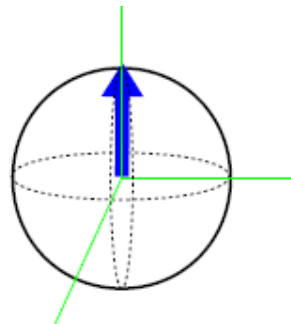
ASYMETRICKÁ MOLEKULA

$$\sigma_{11} \neq \sigma_{22} \neq \sigma_{33}$$



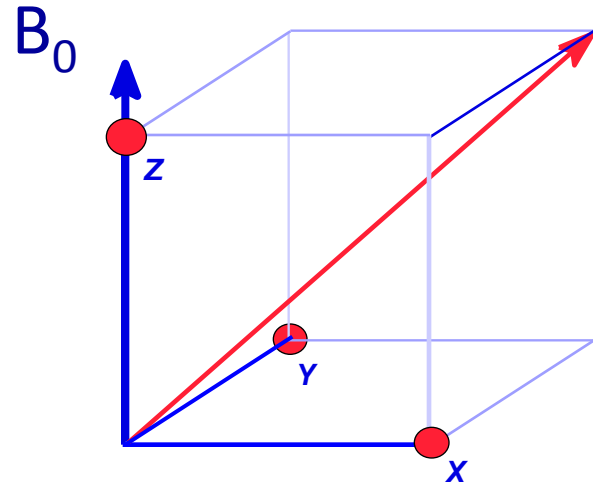
AXIÁLNĚ SYMETRICKÁ MOLEKULA

$$\sigma_{11} = \sigma_{22} \neq \sigma_{33}$$



IZOTROPNÍ OKOLÍ nebo ROZTOK

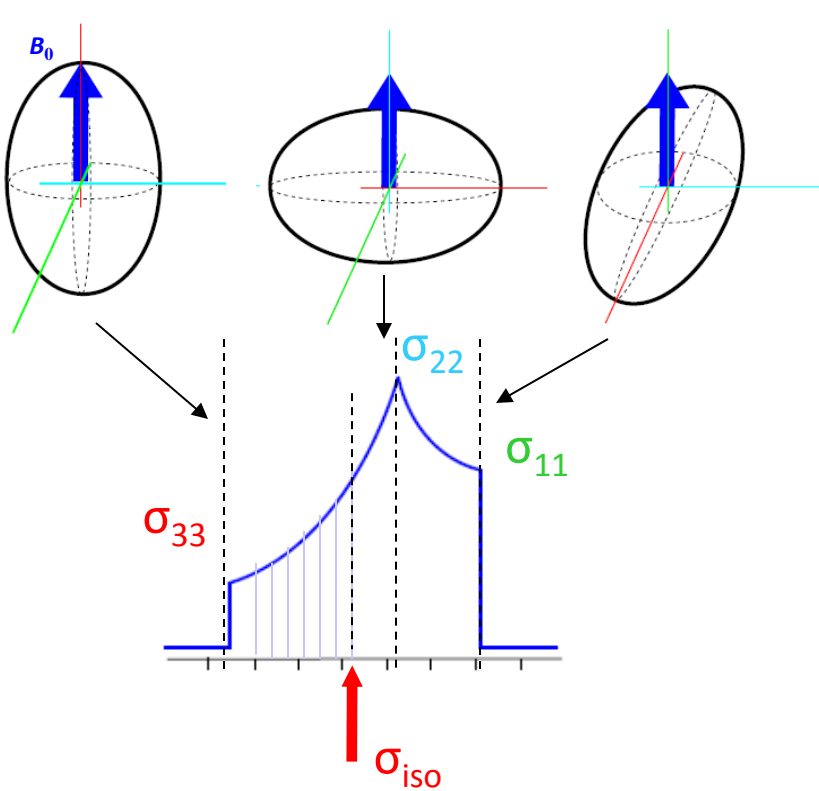
$$(\sigma_{11} + \sigma_{22} + \sigma_{33}) / 3 = \sigma_{\text{iso}}$$



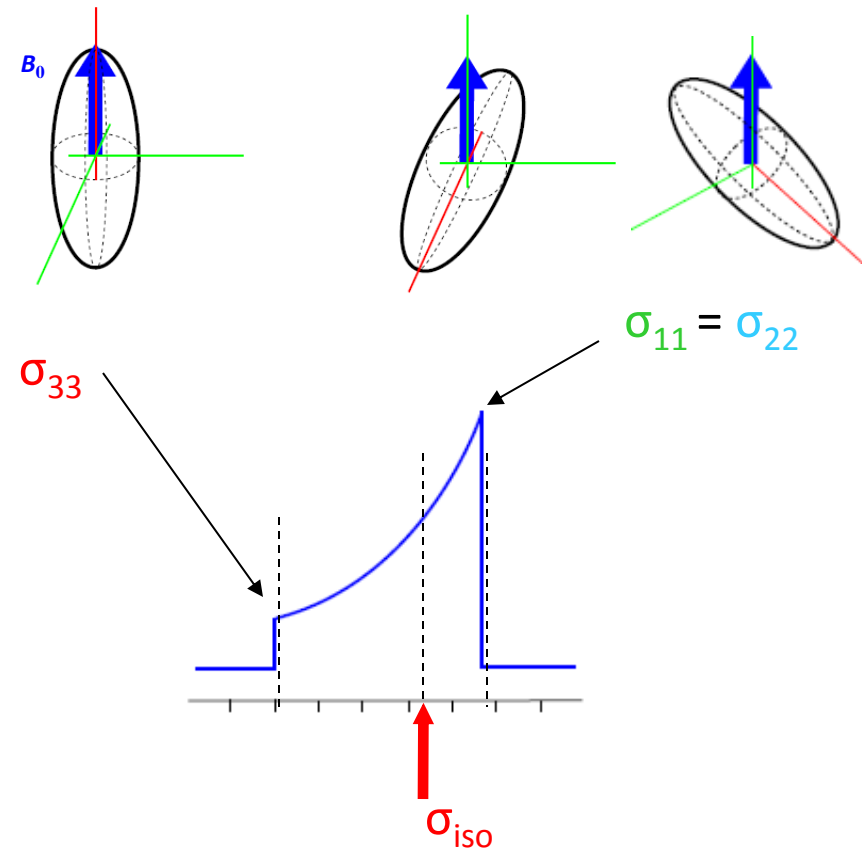
Kubická symetrie – magický úhel

# Chemický posun v práškovém spektru

ASYMETRICKÁ MOLEKULA



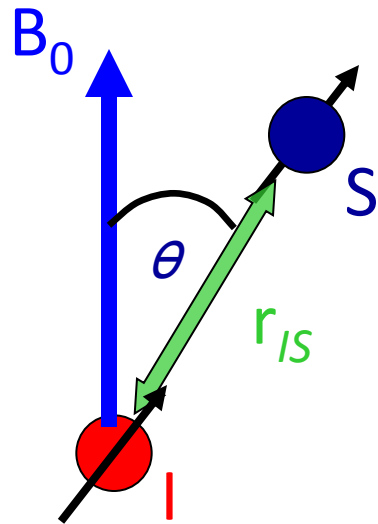
AXIÁLNĚ SYMETRICKÁ MOLEKULA



## PŘÍČINY ANIZOTROPIE CHEMICKÉHO POSUNU

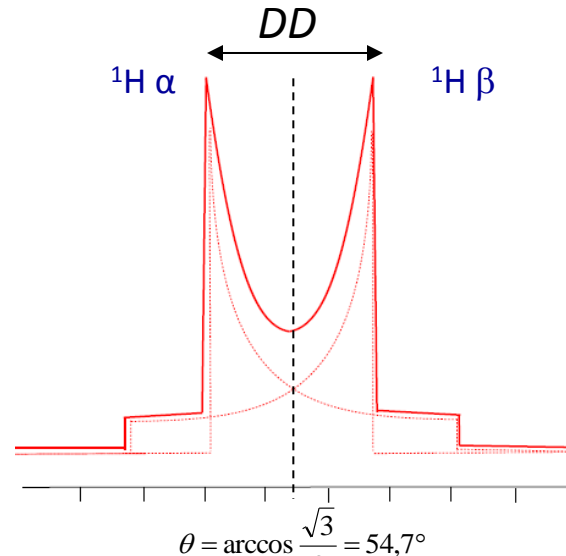
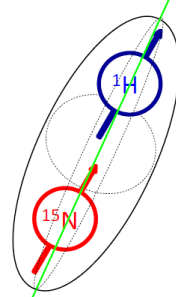
- omezený molekulární pohyb plně nekompenzuje nesférický charakter elektronové hustoty molekul
- různé orientace mikrokrystalů v práškovém vzorku

# Anizotropní interakce v pevné fázi - DD



$$\hat{H}_{DD}^{IS} = -\frac{\mu_0}{4\pi} \frac{\gamma_I \gamma_S \hbar}{r_{IS}^3} (3 \cos^2 \theta - 1) \hat{I}_z \hat{S}_z$$

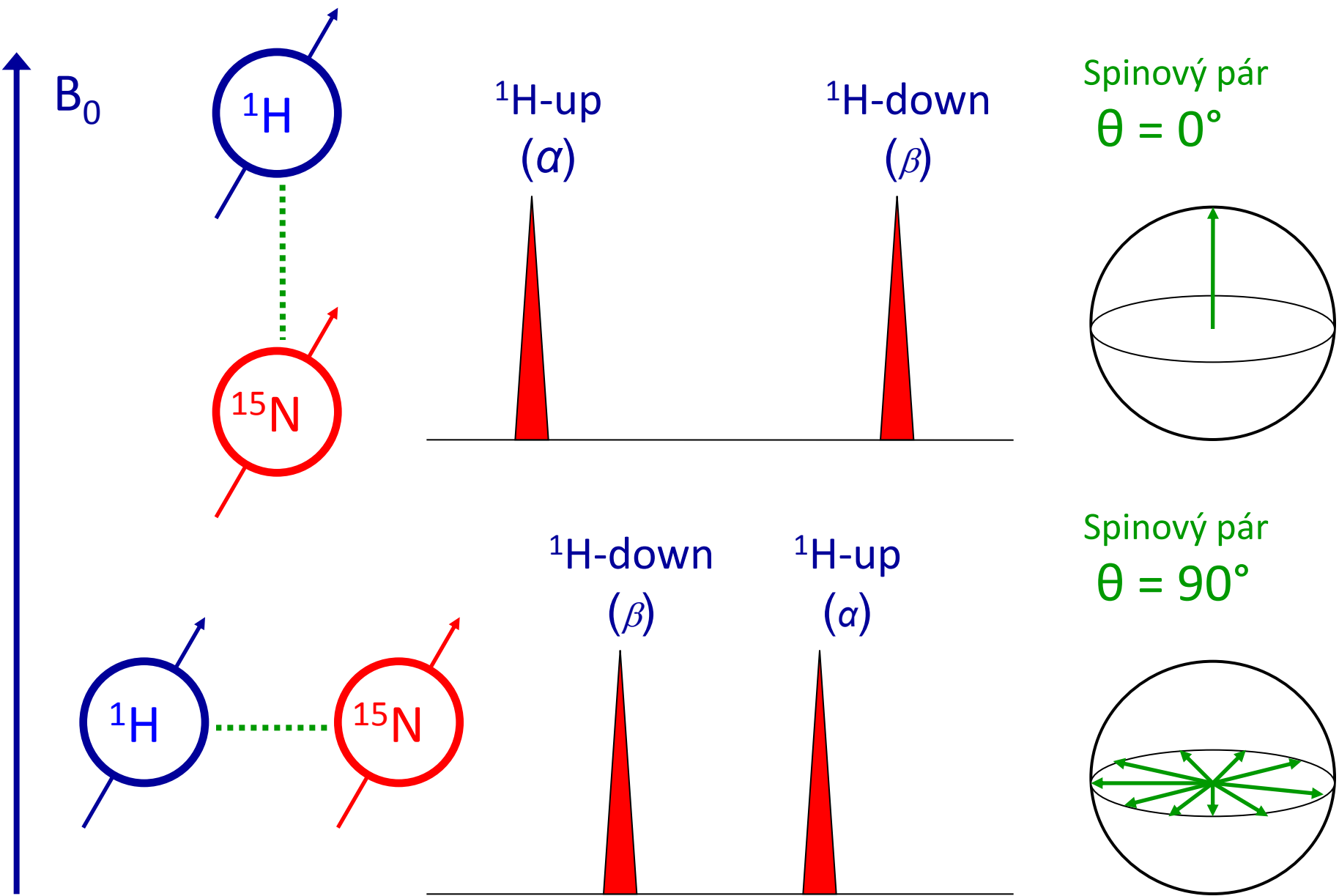
## Heteronukleární dipól-dipólová interakce



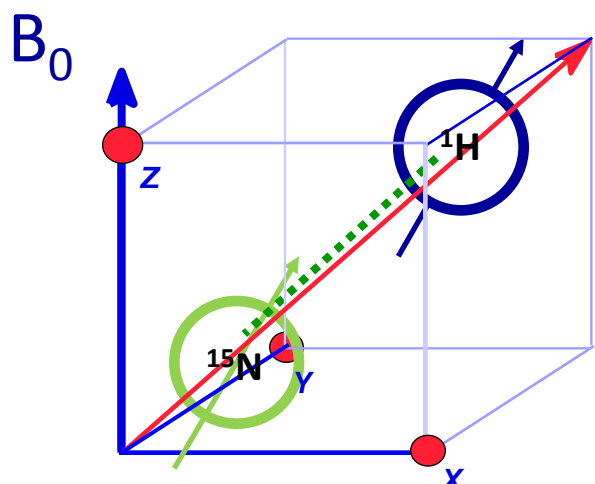
spinový pár  $^{15}\text{N}$  -  $^1\text{H}$  v axiálně symetrickém okolí – práškové spektrum

- v pevné fázi se díky omezenému pohybu interagujících spinových párů projevuje přímá dipolární interakce (dosah 10 Å)
- prášková spektra odpovídají náhodným a v čase konstantním orientacím mezijaderného vektoru  $r_{IS}$  vůči směru  $B_0$
- signál je v ideálním případě rigidního krystalu štěpen na Pakeův dublet odpovídající  $\alpha$  a  $\beta$  stavu interagujícího partnera

# Závislost signálu na orientaci izolovaného spinového páru

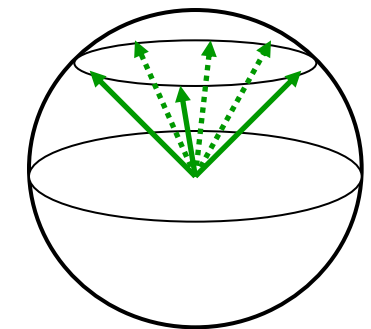


# Rotace vzorku pod magickým úhlem

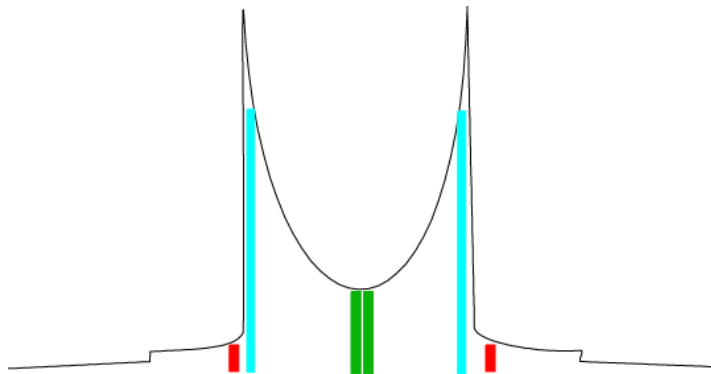
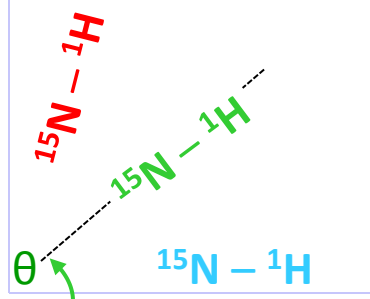


Magic Angle Spining (MAS)

$^{1H}$   
 $(\alpha+\beta)$

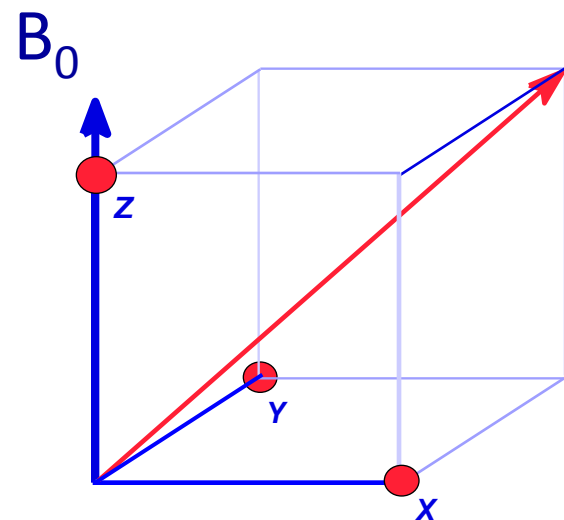
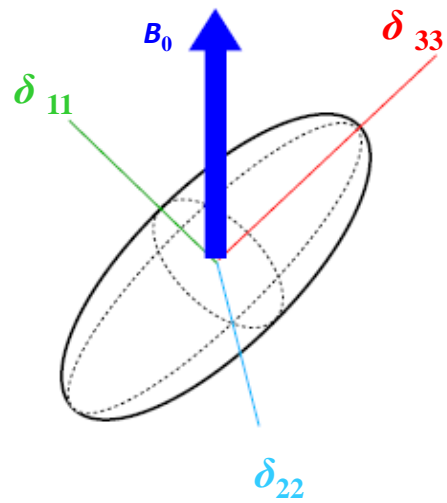
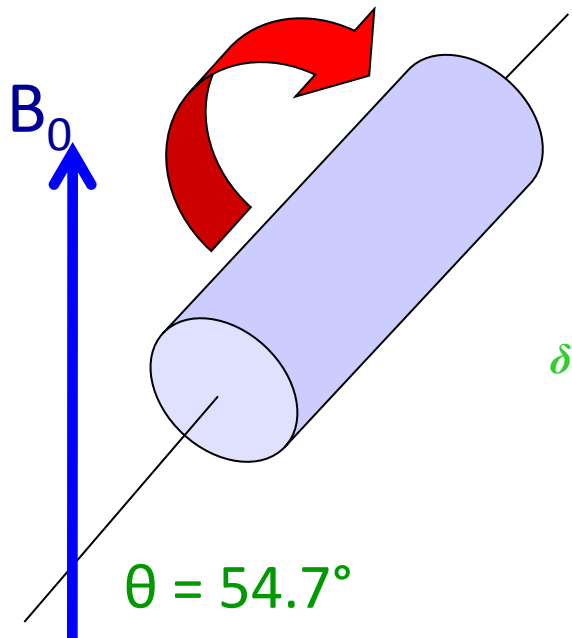


$\theta = 54.7^\circ$



- kubická symetrie systému: v čase se všechny orientace vlivem rotace zprůměrují do hodnoty magického úhlu – vynulování členu ( $3\cos^2\theta - 1$ )
- potlačení heteronukleární dipól-dipólové interakce a složky anizotropie chemického posunu  
→ zúžení signálů resp. rozpad práškového spektra na jednotlivé **rotační signály**

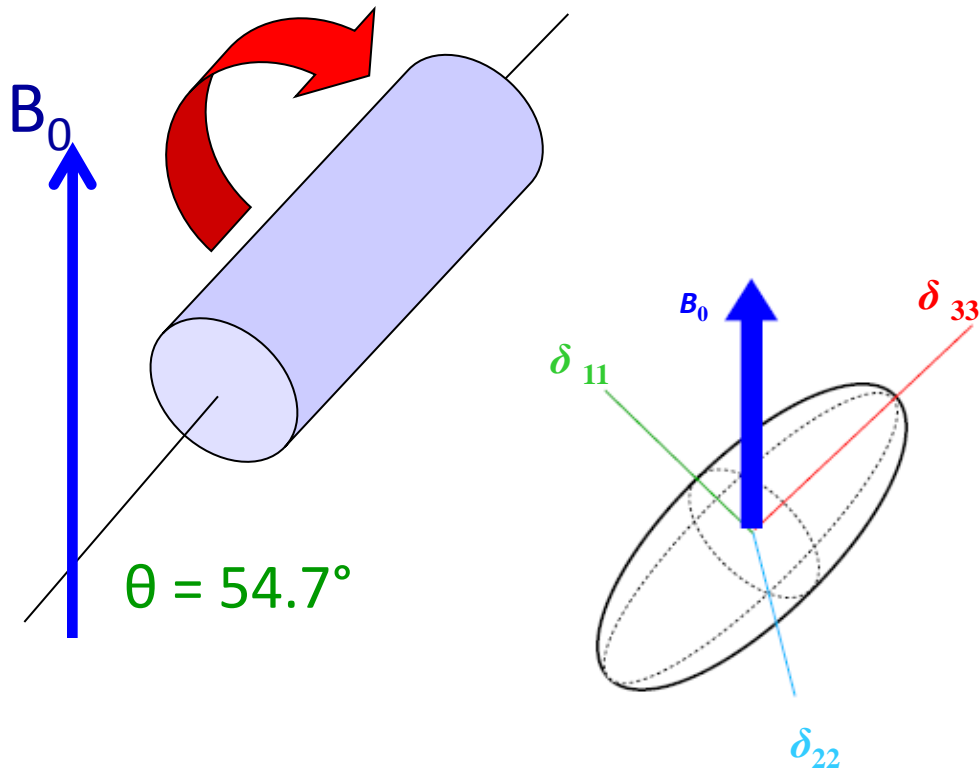
# Rotace vzorku pod magickým úhlem - MAS



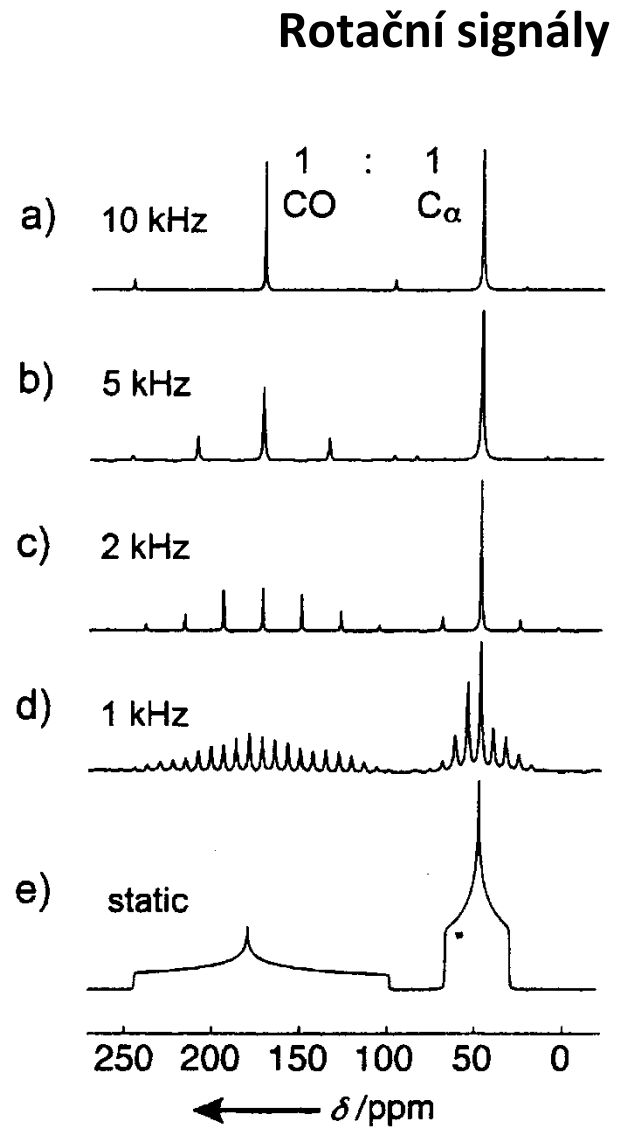
- rozlišené reziduální rotační signály mohou poskytnout informace o anizotropii jaderného stínění resp. chemického posunu – určení složek tenzoru  $\delta$

Kubická symetrie – magický úhel

# Rotace vzorku pod magickým úhlem



- rozlišené reziduální rotační signály mohou poskytnout informace o anizotropii jaderného stínění resp. chemického posunu – určení složek tenzoru  $\delta$

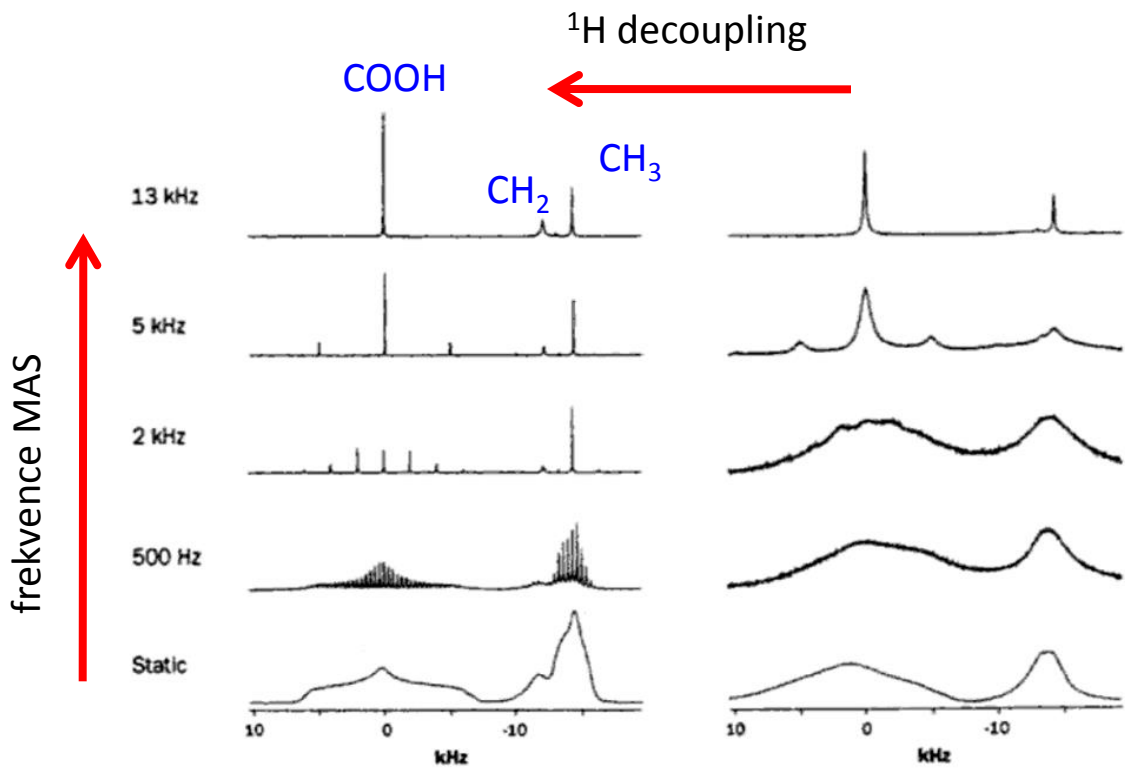


# Heteronukleární dekappling

$$\hat{H}_{DD} = -\frac{\mu_0}{4\pi} \frac{\gamma_I \gamma_S \hbar}{r_{IS}^3} (3 \cos^2 \theta - 1) \hat{I}_z \hat{S}_z$$

↓      ↓      ↓

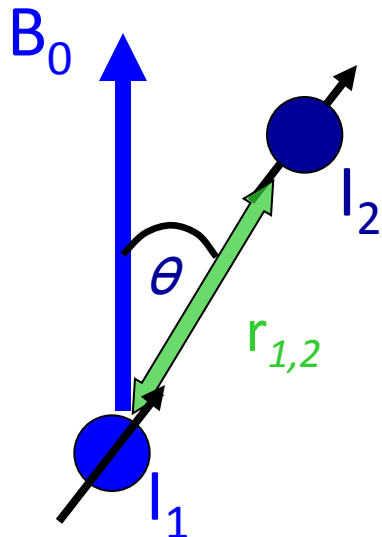
$$\hat{I}_z \hat{S}_z \xrightarrow{\pi_x(S)} -\hat{I}_z \hat{S}_z$$



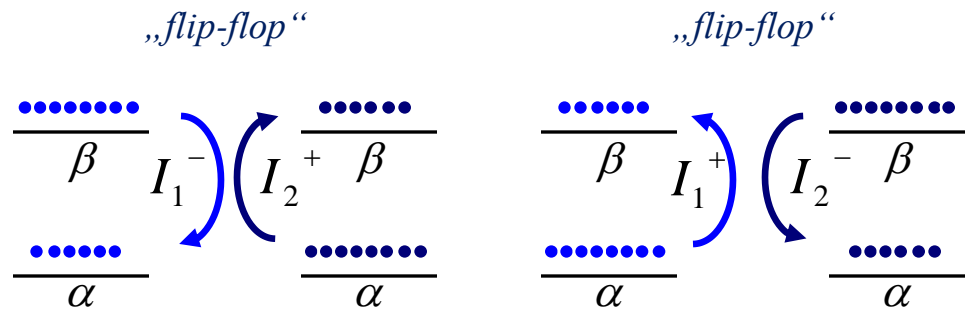
$^{13}\text{C}$  spektrum práškové směsi glycinu a alaninu

- umožňuje téměř zcela potlačit heteronukleární dipolární interakce v ss NMR spektru
- založen na kontinuálním ozařování interagujícího jádra, např.  $^1\text{H}$  rezonance,  $180^\circ$  pulzy o stejné fázi → rotace magnetizace způsobí vyprůměrování spinové složky  $H_{DD}$  do nulové hodnoty

# Anizotropní interakce v pevné fázi



## Homonukleární dipol-dipolová interakce



$$\hat{H}_{DD}^{II} = -\frac{\mu_0}{4\pi} \frac{\gamma^2 \hbar}{2r_{1,2}^3} (3\cos^2 \theta - 1) (\hat{I}_{1z} \hat{I}_{2z} - \hat{I}_1 \hat{I}_2)$$

- v homonukleárním spinovém páru (např.  ${}^1\text{H}-{}^1\text{H}$ ) hamiltonián dipolární interakce navíc zahrnuje skalární součin vektorů operátorů magnetizace
- podmínka zachování celkové energie systému nebrání přenosu energie v okamžiku synchronního *flip-flop* přechodu mezi dvěma interagujícími jádry o blízké rezonanční frekvenci
- jde o koherentní velmi rychlý proces přenosu magnetizace prostorem, homonukleární interakce proto zapříčinuje tzv. spinovou difúzi

# *D*-interakce vs. *J*-interakce

## *Přímá spin-spinová interakce*

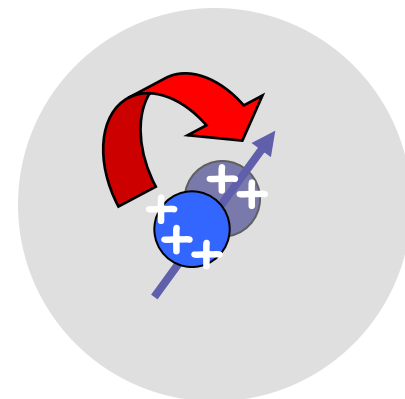
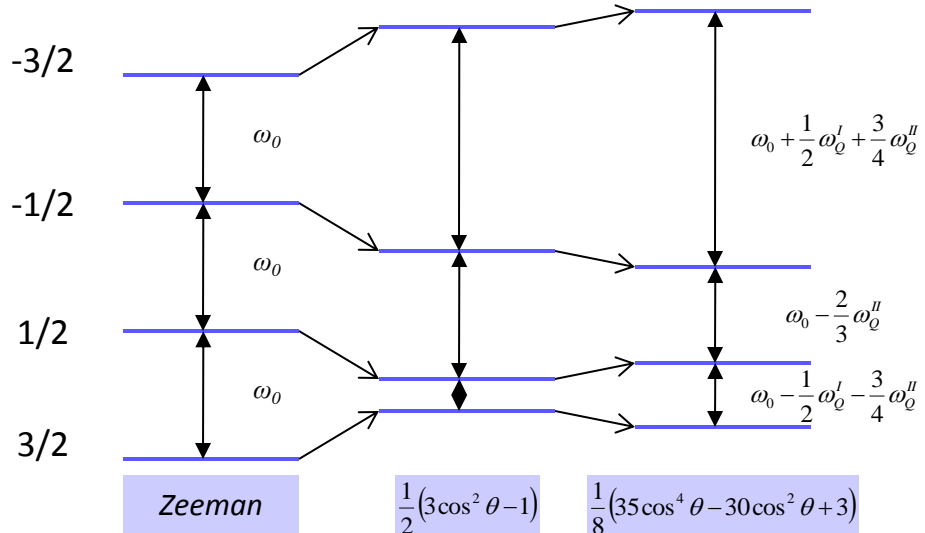
- šíří se přes prostor – přímá interakce jaderných dipólů
- velikost závislá na orientaci mezijaderného vektoru vůči vnějšímu magnetickému poli
- uplatňuje se v pevné fázi popř. orientovaných mediích v podobě reziduálního dipolární interakce
- v roztoku důležitý relaxační mechanismus - NOE
- magnituda v řádu desítek kHz

## *Nepřímá spin-spinová interakce*

- zprostředkována valenčními elektrony
- nezávislá na orientaci ani velikosti vnějšího magnetického pole
- uplatňuje se v roztoku, v pevné fázi překryta intenzivnějšími DD popř. kvadrupolárními interakcemi
- magnituda v řádu desítek Hz

# Anizotropní interakce v pevné fázi

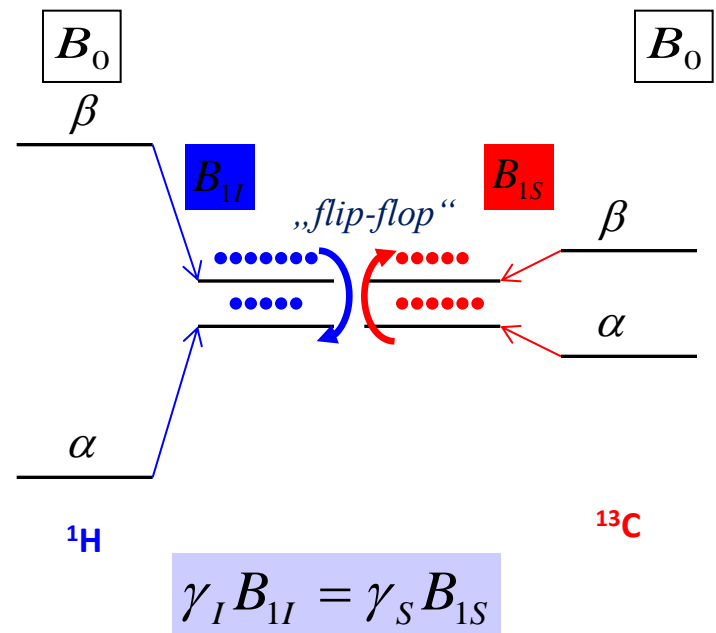
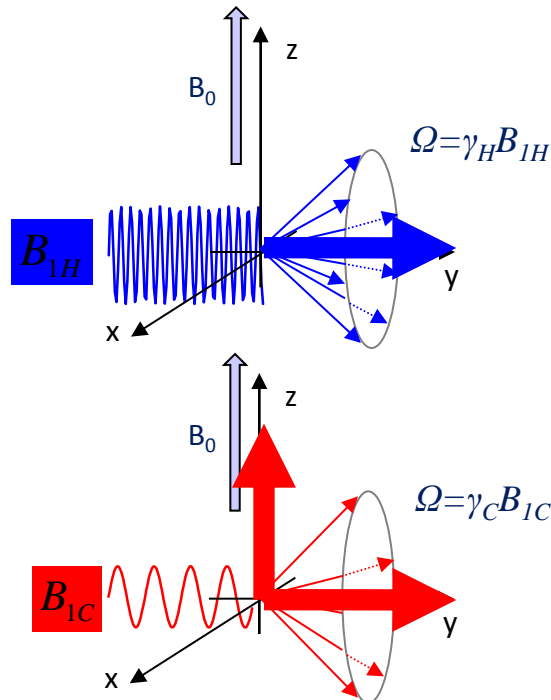
## Kvadrupolární interakce



- projevuje se u jader s jaderným magnetickým spinovým číslem  $s > 1/2$  – jaderný spin se může vyskytovat ve  $2s + 1$  energetických stavech
- tato jádra mají nesférickou distribuci jaderného náboje – kvadrupolové štěpení rezonančního signálu způsobí interakce magnetického momentu s gradientem elektrického pole
- kvadrupolové štěpení dosahuje až řádů MHz a jeho závislost na orientaci spinového systému vůči  $B_0$  je popsána vedle harmonické funkce i složkou druhého rádu, MAS neumožňuje zcela odstranit (double rotation)

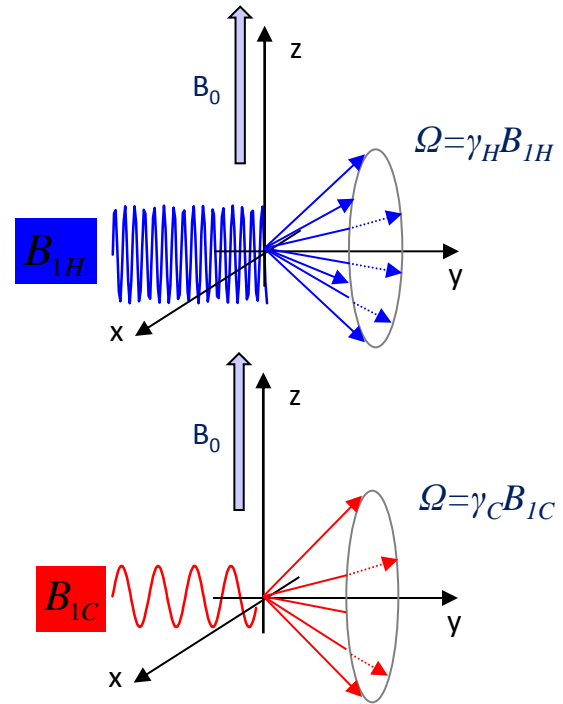
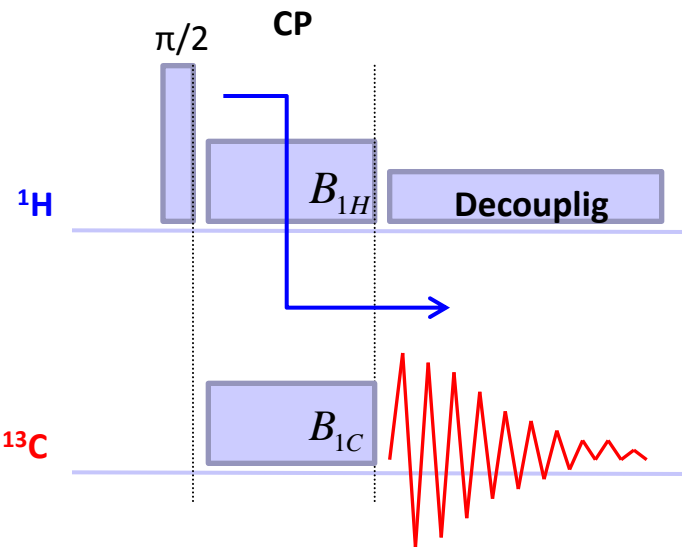
# Křížová polarizace

Cross-Polarisation (CP)



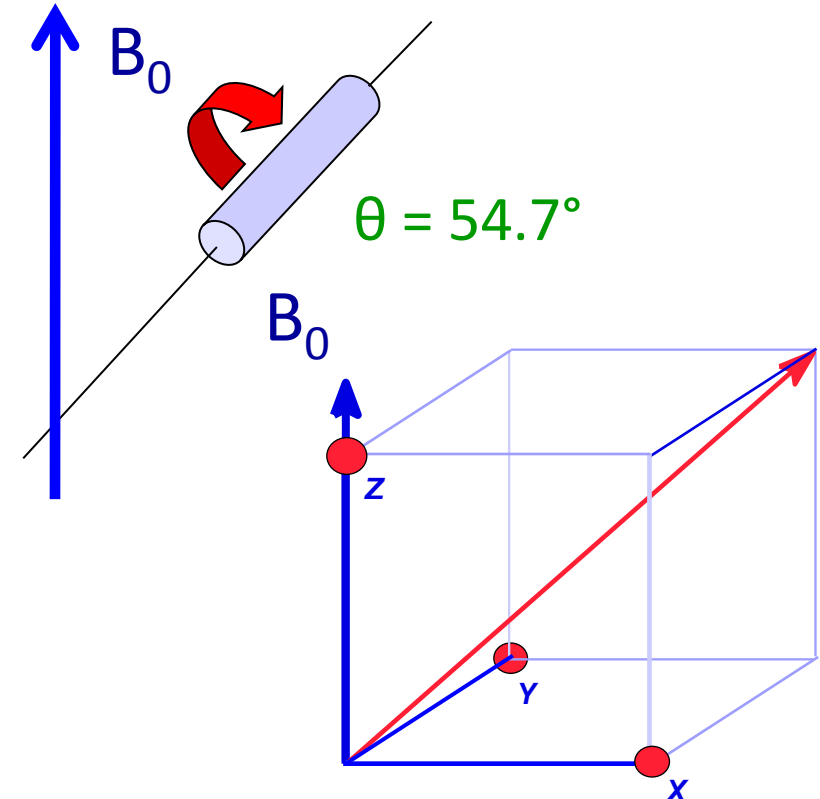
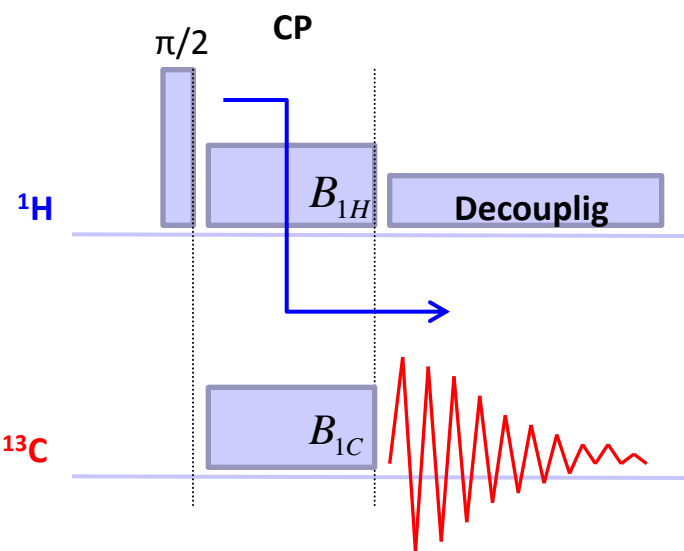
- hnací silou je **přímá dipól-dipólová interakce**, využívá tendence magnetizace proudit z vysoce polarizovaného systému (velké  $\gamma_I$ , např.  $^1\text{H}$ ) do systému málo polarizovaného (malé  $\gamma_S$ , např.  $^{13}\text{C}$ )
- rezonanční podmínu lze pro heteronukleární spinový pár splnit díky **Hartman-Hahnovu experimentu** – založen na současném ozařováním obou jader rf poli o odpovídajících frekvencích, což vyvolává precesní pohyb obou spinů kolem směru těchto polí, amplitudy těchto rf polí jsou nastaveny tak, aby došlo k vyrovnání frekvencí obou precesních pohybů a ustavení tzv. dipolárního kontaktu
- v homonukleárním systému je **flip-flop cross-polarizační přechod** podstatou spinové difúze

# Cross-polarizační (CP) experiment



- 90° pulzem je excitován <sup>1</sup>H vysoce polarizovaný spinový systém
- během CP periody jsou magnetizace obou systému udržovány ve shodném směru *rf* polí (spin-lock) bez vývoje chemického posunu – polarizace se přesouvá z <sup>1</sup>H do <sup>13</sup>C spinového systému
- během akvizice <sup>13</sup>C signálu je DD interakce potlačována dekaplovací pulzní sekvencí na <sup>1</sup>H
- CP experiment představuje významný stavební blok řady pulzních sekvencí v ssNMR – umožňuje až 1000x zvýšení citlivosti

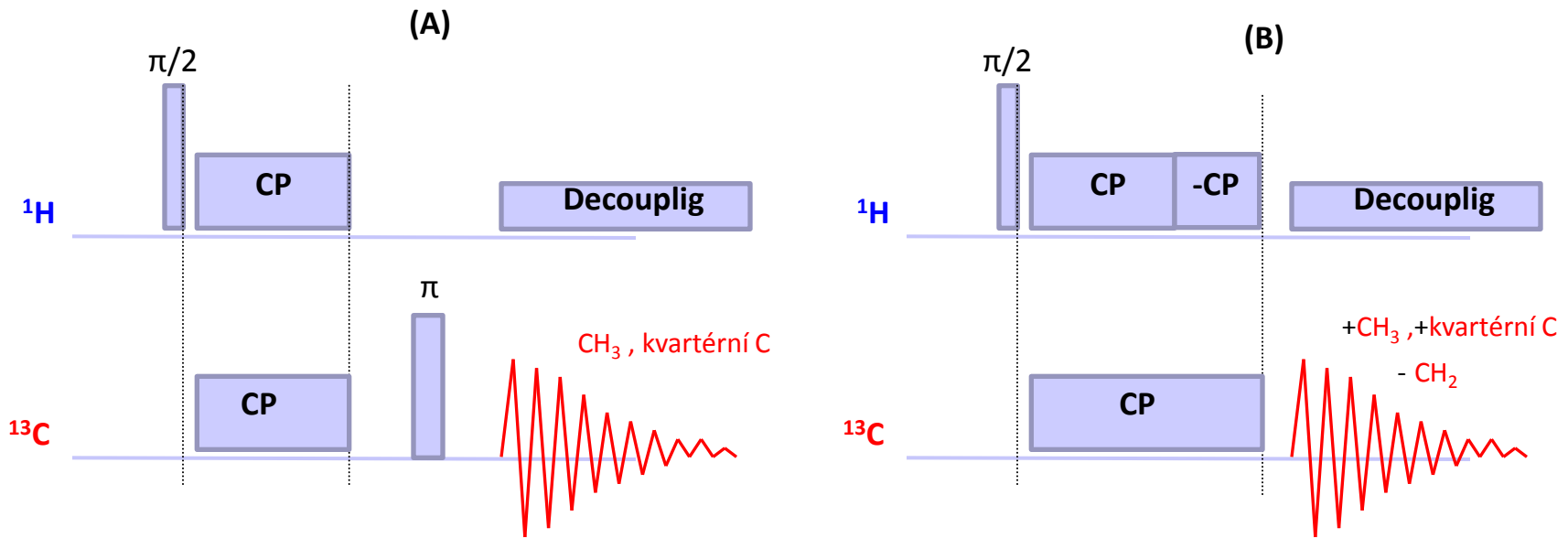
# CP/MAS experiment



- Kombinace CP experimentu a rotace pod magickým úhlem (MAS)
- MAS – eliminace anizotropních interakcí
- CP – zvýšení citlivosti
- CP/MAS – základ sofistikovanějších experimentů v pevné fázi
- Dekapling během akvizice - eliminace štepení  $^{13}\text{C}$  NMR spekter jádrem  $^1\text{H}$

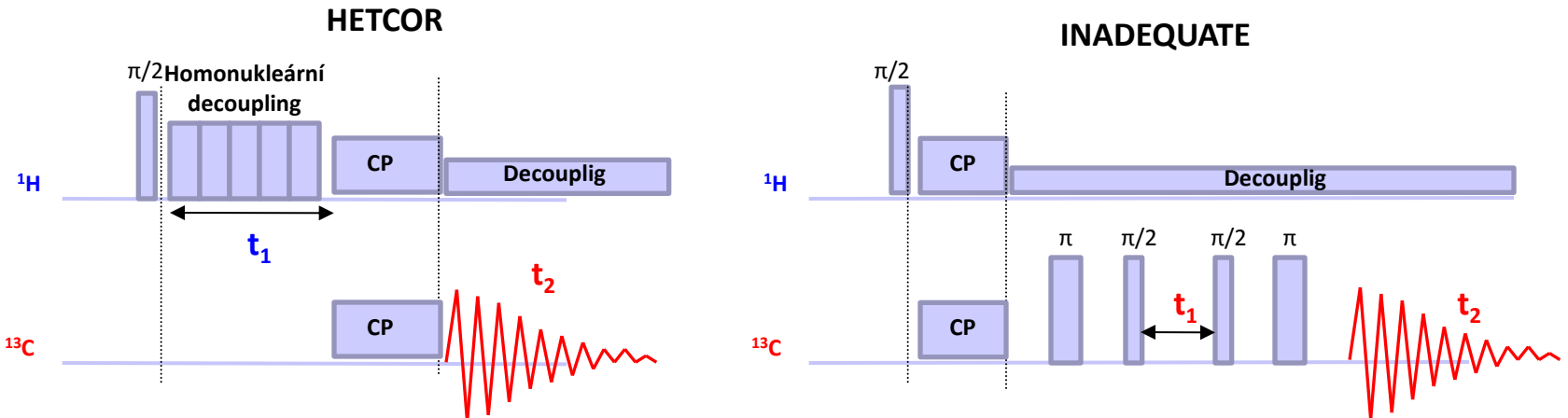
Kubická symetrie – magický úhel

# CP/MAS experiment



- intenzita DD interakcí mezi  $^1\text{H}$  a  $^{13}\text{C}$  závisí na prostorové blízkosti jader a rychlosti reorientace mezijaderného vektoru vůči  $B_0$ , klesá v řadě:
 
$$\text{CH}_2 > \text{CH} > \text{CH}_3 \text{ (rotace)} > \text{C} \text{ (vzdálené protony)}$$
- (A) Během spinového echo dojde k rozfázování koherence signálu  $\text{CH}_2$  a  $\text{CH}$  vlivem DD interakce, jež je v těchto spinových systémech nejrychlejší.
- (B) Na inverzi fáze CP spinlokovacího bloku  $^1\text{H}$  rezonance nejrychleji reagují  $\text{CH}_2$  skupiny – inverze signálů, následované  $\text{CH}$  (signál po optimalizaci blízko nule).

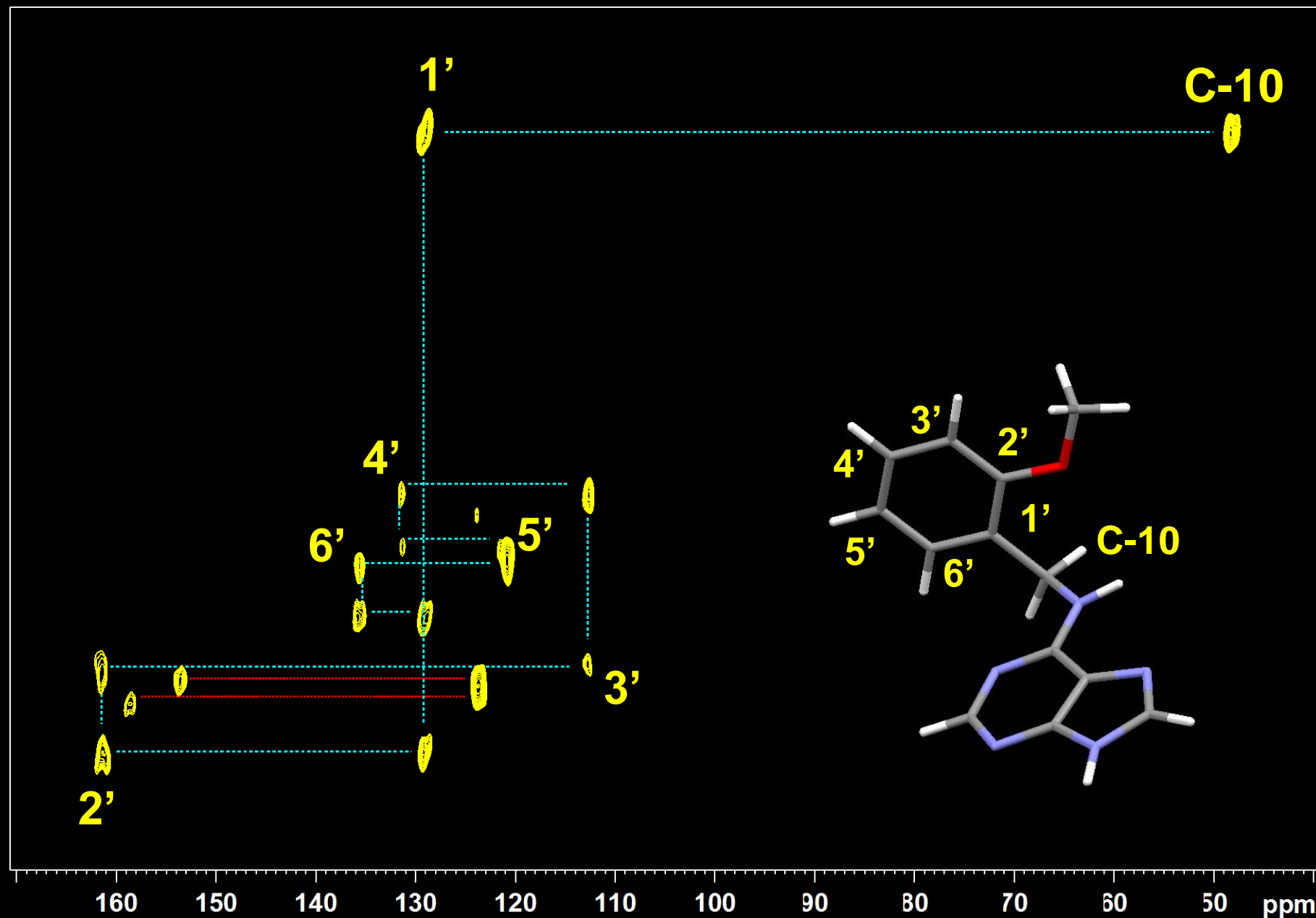
# 2D ssNMR spektroskopie



Např:

- **DD interakce:**  $^1\text{H}$  -  $^{13}\text{C}$  korelační heteronukleární experiment HETCOR
- **J-interakce:**  $^{13}\text{C}$ - $^{13}\text{C}$  INADEQUATE, HMQC-J-MAS
- **korelace CSA a DD interakce:** orientované systémy- PISEMA

# $^{13}\text{C}$ signal assignment – 2D CP-INADEQUATE



# ssNMR spektroskopie



Rotory – ZrO<sub>2</sub>